

## I-12 部分分布荷重を担う矩形中等厚板の一解法について

北見工業大学 正員 奥村 勇

## 1. 緒言

矩形厚板の解析に関する研究は、古くより、数多くの研究者によって取り扱われている。たとえば、Weiner-Krieger<sup>1)</sup>, Love<sup>2)</sup>, Reissner<sup>3)</sup>, Kramm<sup>4)</sup>, Mindlin<sup>5)</sup>及びPanc<sup>6)</sup>などがその代表的解析方法を見出している。その後、多くの研究者によって、これらの解法の改良が試みられ、現在では、Amorai-Tsuyumyan<sup>7)</sup>あるいは堀川・園田<sup>8)</sup>らに見受けられるように、直交異方性矩形厚板の解析方法にまで研究が進展している。厳密な三次元弾性論による解法及びひずみ弹性論とReissner理論との併用による堀川・園田らの解法を除いて、前述の解析方法を弾性論的視点より見れば、Loveの解法が最も正確な解剖方法と思われる。

Loveの解法は、平面応力解、一般化平面応力解及び荷重条件に関する特殊解の三つの解より構成されており、いずれの解もつり合い方程式及び適合条件式を厳密に満足しているが、三つの解のうち、最後の特殊解が与えられた荷重条件を満足するようにつり合い方程式及び適合条件式より直接導出することが、一般的には、至ずかしいとされていた。この難点が、古くよりある解法の割には、余り採用されなかつ一つの原因となっていたが、この難点は、今から27年前に、秦<sup>9)</sup>がloading functionを導入して解決した。Loveの解法に見受けられるもう一つの難点は、曲げに関する境界条件が薄板理論と同様に、二つの条件でしか規定できない点である。通常の厚板理論においては、二つの条件が規定され、境界条件をより正確に満足できることを考えれば、Loveの解法におけるこの二つの難点は、厚板理論における一つの短所とも考えられる。

本報告において述べる矩形中等厚板の一解法では、本質的にはLoveの解法に負うものであるが、一つの難点とされている特殊解については、三次元応力解の一節を當て、もう一つの難点については、板の中央面に対して反対称一般化平面応力解を追加し、任意の荷重条件に対処でき、さらに、曲げに関する境界条件を三つ規定できるように試みた解法であり、Loveの解法の一つの改良方法と考えられる。この解法は、もちろん、Loveの解法の長所に違背するものではなく、四つの解、すなわち、平面応力解、一般化平面応力解、三次元応力解及び板の中央面に対して反対称的一般化平面応力解は、すべてのつり合い方程式及び適合条件式を厳密に満足しており、また、変位成分あるいは応力成分に関する何らかの仮定も含んでいない。

## 2. 平面応力解

解の形式は、文献(2)に詳述されているので省略し、図-1に示した矩形厚板が  $x=0$  及び  $y=0$  に関して対称な荷重を担い、 $x=\pm a/2$  の両辺が単純支持されているものとすると、座位及び応力成分は次式となる。

$$Ex = \sum_{i=1}^{\infty} (di) \sin dix \{ (1+v) P_i^{(1)} \cosh diy + P_i^{(2)} \times \\ \times \{ 2 - v(dix)^2 \} \cosh diy + (1+v) diy \sinh diy \} \quad \dots \dots \quad (1)$$

$$Ey = \sum_{i=1}^{\infty} (di) \cos dix \{ (1+v) P_i^{(1)} \sinh diy - P_i^{(2)} \times \\ \times \{ 1 + v[(dix)^2 - 1] \} \sinh diy - (1+v) diy \times \\ \times \cosh diy \} \quad \dots \dots \dots \quad (2)$$

$$Ev = -v \sum_{i=1}^{\infty} (di^2) \cos dix \cdot 2 P_i^{(1)} \cosh diy \quad \dots \dots \quad (3)$$

$$\sigma_{xx} = \sum_{i=1}^{\infty} (di^2) \cos dix [ P_i^{(1)} \cosh diy + P_i^{(2)} \{ 2 - v \times \\ \times (dix)^2 / (1+v) \} \cosh diy + diy \sinh diy \} ] \quad \dots \dots \quad (4)$$

$$\sigma_{yy} = - \sum_{i=1}^{\infty} (di^2) \cos dix [ P_i^{(1)} \cosh diy + P_i^{(2)} \{ diy \times$$

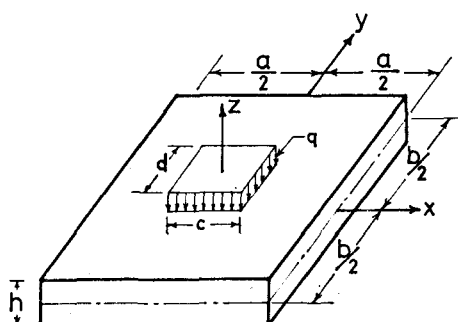


図-1 座標系

$$\delta_{xy} = \sum_{i=1}^{\infty} (dx^i) \cdot \sin dx^i [P_i^{(1)} \sin dy + P_i^{(2)} \{ (1 - v(dx^i)^2 / (1 + v)) \sin dy + dy \cos dy \}] \dots (6)$$

また、合意力は、次のように定義される。

$$T_{xx} = \int_{\frac{L}{2}}^{\frac{L}{2}} \sigma_{xx} dx, \quad T_{yy} = \int_{\frac{L}{2}}^{\frac{L}{2}} \sigma_{yy} dx, \quad S_{xy} = -S_{yx} = \int_{\frac{L}{2}}^{\frac{L}{2}} \sigma_{xy} dx, \quad Q_x = 0, \quad Q_y = 0 \quad \dots \dots \dots \quad (7)$$

### 3. 一般化平面应力解

この解の形式も文献(2)に詳述されてるので、変位及ぶ応力成分を示せば、たとえば、次の通りである。

$$E u = (1+v) \sum_{k=1}^{\infty} (d_k) \sin d_k x \left\{ Q_k^{(1)} \cosh d_k y + Q_k^{(2)} [d_k y \sinh d_k y - (2-v)(d_k)^2 \cosh d_k y] / 3(1-v) \right\} \quad (8)$$

$$E\sigma = - (1+\nu) \sum_{i=1}^n (d_i) \cos \operatorname{dist} \left\{ Q_i^{(1)} \sinh d_i y + Q_i^{(2)} \left[ d_i y \cosh d_i y + (1-(2-\nu)/3(1-\nu)) (d_i x)^2 \right] x \right. \\ \left. + \sinh d_i y \right\} \quad \dots \dots \dots \quad (19)$$

$$\Omega_{12} = \left( \frac{h^2 - 4z^2}{4} \right) / \left\{ 4(1-v) \right\} \sum_{n=0}^{\infty} (di^n) \sin di x Q^{(n)} \cosh di y \dots \dots \dots \dots \quad (11)$$

$$\Omega_{42} = - \left( \frac{h^2 - 4z^2}{4} \right) / \left\{ 4(1-v) \right\} \sum_{n=0}^{\infty} (1i^n) \cos di x Q^{(n)} \sinh di y \dots \dots \dots \dots \quad (12)$$

$$\partial y_R = -(\bar{h} - 4\bar{x}') / \{4(1-\nu)\} \sum_{k=1}^{\infty} (\bar{d}_k)^3 \cos k \bar{x} \bar{y} \sinh k \bar{y} \quad \dots \quad (12)$$

$$Q_x = \int_{\frac{L}{2}}^{\frac{L}{2}} \partial_{xx} z \, dz, \quad Q_y = \int_{\frac{L}{2}}^{\frac{L}{2}} \partial_{yy} z \, dz, \quad T_{xx} = 0, \quad T_{yy} = 0, \quad S_{xy} = -S_{yx} = 0 \quad \left. \right\}$$

$$M_x = \int_{-\frac{L}{2}}^{\frac{L}{2}} z \sigma_{xx} dz, M_y = \int_{-\frac{L}{2}}^{\frac{L}{2}} z \sigma_{yy} dz, M_{xy} = -M_{yx} = \int_{-\frac{L}{2}}^{\frac{L}{2}} (-z \sigma_{xy}) dz \quad \{ \dots \dots \dots (13) \}$$

#### 4. 第二步：选择合适的分析方法——量化研究与扎根理论

#### 4. 板の中央面に対して反対称の一般化平面応力解

この解の形式は、文献(4)に示されており、変位及応力成分は、たとえば、次の通りである。

$$E u = (1+\nu)(-1)^{\frac{n-1}{2}} \sin knx \sum_{k=1}^{\infty} (\lambda kn) \sin kx Ei \cosh kny \dots \dots \dots \dots \quad (14)$$

$$E\psi = -(1+\nu)(-1)^{\frac{n+1}{2}} \sin kx \sum_{i=1}^n (d_i) \cos i kx E_i \sinh k y, \quad w=0 \quad \dots \dots \dots \quad (15)$$

$$\sigma_{xx} = -\partial_y g = (-1)^{\frac{n+1}{2}} \sin k_n x \sum_{i=1}^{\infty} (\text{dil}_n) \cos i \pi x E_i \sinh k_n y, \quad \sigma_{yy} = 0 \quad \dots \dots \dots \quad (16)$$

$$5xy = (-1)^{\frac{x-1}{2}}/2 \sin k\pi 2 \sum_{i=1}^{\infty} (di^2 + lin) \sin idz E_i \sinh ly \dots \dots \dots \quad (17)$$

$$\Omega_{EZ} = (-1)^{\frac{n-1}{2}} / 2 \cdot k_n \cos(k_n \sum_{i=1}^{n-1} (\alpha_i)) \text{ und } \Omega_{EZ} \text{ ist } \dots \dots \dots \dots \dots \dots \dots \quad (18)$$

$$k_n = n\pi/a, \quad d_i = i\pi/a, \quad \lambda_{dn} = \sqrt{d_i^2 + k_n^2}, \quad n=1, 3, \dots, \quad i=1, 3, \dots \dots \quad (19)$$

## 5. 3次元応力解

一般化された Neuber の解<sup>10)</sup>を用いることにすると、次の通りである。

ここで

$$u = (u, v, w), \quad r = (x, y, z), \quad \bar{x} = (\bar{x}_1, \bar{x}_2, \bar{x}_3), \quad \bar{y} = (\bar{y}_1, \bar{y}_2, \bar{y}_3) \}$$

$$\nabla^2 \Xi_0 = 0, \quad \nabla^2 \bar{\Xi} = 0, \quad \nabla^2 \Phi = 0, \quad \nabla^2 \equiv \partial^2/\partial x^2 + \partial^2/\partial y^2 + \partial^2/\partial z^2 \quad \{ \dots \quad (21)$$

応力状態が  $x=0$  及び  $y=0$  に関して対称であることに留意して、式(21)より変位ポテンシャルを求める  
と、次の通りである。

$$\left. \begin{aligned} \bar{E}_0 &= -\sum_{k=1}^{\infty} \sum_{m=1}^{\infty} \cos kx \cos m y (\bar{C}_{k0} \cosh mizx + \bar{C}_{0m} \sinh mizx) \\ \bar{E}_3 &= \sum_{k=1}^{\infty} \sum_{m=1}^{\infty} \cos kx \cos m y (\bar{C}_{k3} \sinh mizx + \bar{C}_{3m} \cosh mizx) \\ \bar{U}_3 &= \sum_{k=1}^{\infty} \sum_{m=1}^{\infty} \sin kx \sin m y (\bar{C}_{k3} \cosh mizx + \bar{C}_{3m} \sinh mizx) \end{aligned} \right\} \dots \dots \dots \quad (22)$$

$$z_3 = 2\beta\pi/\ell, \quad d_{13} = \sqrt{d_{12}^2 + z_3^2}, \quad s = 0, 1, 2, \dots \quad (23)$$

式(20)の解には、他の変位がテンシャル重 $\varphi_1, \dots, \varphi_n$ が含まれているが、荷重条件を満たすだけの特殊

解としては、式(22)の三つの変位ポテンシャルで十分である。式(22)を式(20)に代入すると、変位成分は次のように求められる。

$$2G\alpha = - \sum_{s=1}^{\infty} \sum_{n=0}^{\infty} \sinh nisZ \cos 3sy \left\{ (2sC_{is}^{(s)} - 2s\bar{C}_{is}^{(s)}) \cosh nisZ + (2s\bar{C}_{is}^{(s)} - 2sC_{is}^{(s)}) \sinh nisZ + \right. \\ \left. - C_{is}^{(s)} \sinh nisZ - \bar{C}_{is}^{(s)} \cosh nisZ \right\} \quad \dots \dots \dots \quad (24)$$

$$2G\beta = - \sum_{s=1}^{\infty} \sum_{n=0}^{\infty} \cos diZ \sin 3sy \left\{ (3sC_{is}^{(s)} + 2diC_{is}^{(s)}) \cosh nisZ + (3s\bar{C}_{is}^{(s)} + 2di\bar{C}_{is}^{(s)}) \sinh nisZ + \right. \\ \left. - C_{is}^{(s)} 3sZ \sinh nisZ - \bar{C}_{is}^{(s)} 3sZ \cosh nisZ \right\} \quad \dots \dots \dots \quad (25)$$

$$2G\omega = \sum_{s=1}^{\infty} \sum_{n=0}^{\infty} \cos diZ \cos 3sy \left\{ \{ nisC_{is}^{(s)} + (3-4v)C_{is}^{(s)} \} \sinh nisZ + \{ nis\bar{C}_{is}^{(s)} + (3-4v)\bar{C}_{is}^{(s)} \} \times \right. \\ \left. \times \cosh nisZ - C_{is}^{(s)} nisZ \cosh nisZ - \bar{C}_{is}^{(s)} nisZ \sinh nisZ \right\} \quad \dots \dots \dots \quad (26)$$

また、応力成分は、変位成分よりひずみ成分を求め、Hooke's の法則を用いると、たとえば、次式となる。

$$\sigma_{xz} = \sum_{s=1}^{\infty} \sum_{n=0}^{\infty} (nis) \cos diZ \cos 3sy \left\{ nisC_{is}^{(s)} + 2(1-v)C_{is}^{(s)} \right\} \cosh nisZ + \left\{ nis\bar{C}_{is}^{(s)} + 2(1-v)\bar{C}_{is}^{(s)} \right\} \times \\ \times \sinh nisZ - C_{is}^{(s)} nisZ \sinh nisZ - \bar{C}_{is}^{(s)} nisZ \cosh nisZ \quad \dots \dots \dots \quad (27)$$

$$\sigma_{yz} = - \sum_{s=1}^{\infty} \sum_{n=0}^{\infty} \sin diZ \cos 3sy \left\{ di nisC_{is}^{(s)} - 3s nisC_{is}^{(s)} + (1-2v)diC_{is}^{(s)} \right\} \sinh nisZ + \left\{ di nis\bar{C}_{is}^{(s)} - 3s nis\bar{C}_{is}^{(s)} + \right. \\ \left. + (1-2v)di\bar{C}_{is}^{(s)} \right\} \cosh nisZ - C_{is}^{(s)} di nisZ \cosh nisZ - \bar{C}_{is}^{(s)} di nisZ \sinh nisZ \quad \dots \dots \dots \quad (28)$$

以上の四つの解において、E は機械弾性係数、v はせん断弾性係数、v はボアソン比を表わすものとする。

## b. 荷重条件及び境界条件

図-1 に示した様に、荷重は垂直荷重の場合を考えることにすると、荷重条件は次の通りである。

$$\begin{aligned} z = \pm a/2 \text{ において } & \sigma_{xz} = 0, \sigma_{zy} = 0, \sigma_{zz} = -P(x, y) \\ z = -a/2 \text{ において } & \sigma_{xz} = 0, \sigma_{zy} = 0, \sigma_{zz} = 0 \end{aligned} \quad \dots \dots \dots \quad (29)$$

$$\text{ここで } P(x, y) = \begin{cases} 2 [ -c/2 < z < c/2 \text{ かつ } -d/2 < y < d/2 ] \\ 0 [\text{上記以外の領域}] \end{cases} \quad \dots \dots \dots \quad (30)$$

式(29)の荷重条件より、3 次元応力解に含まれていた任意定数は、次のように求められる。

$$\begin{aligned} C_{is}^{(s)} = - \frac{c_{is}}{n_{is}^2} Q_{is} (S_{is} \coth S_{is} - 1 + 2v), \quad C_{is}^{(s)} = - \frac{c_{is}}{n_{is}^2} Q_{is}, \quad C_{is}^{(s)} = 0 \\ \bar{C}_{is}^{(s)} = - \frac{c_{is}}{n_{is}^2} \bar{P}_{is} (S_{is} \tanh S_{is} - 1 + 2v), \quad \bar{C}_{is}^{(s)} = - \frac{c_{is}}{n_{is}^2} \bar{P}_{is}, \quad \bar{C}_{is}^{(s)} = 0 \end{aligned} \quad \dots \dots \dots \quad (31)$$

ここで

$$\begin{aligned} Q_{is} &= \frac{\sinh S_{is}}{2(\sinh S_{is} \cosh S_{is} + S_{is})}, \quad \bar{P}_{is} = \frac{\cosh S_{is}}{2(\sinh S_{is} \cosh S_{is} - S_{is})}, \quad S_{is} = \frac{n_{is} h}{2} \\ c_{is} &= 2 \left\{ 4 \left( \frac{d}{h} \right) \frac{ds}{it} \sin \frac{i\pi c}{2a} + \frac{8 \bar{ds}}{it^2} \sin \frac{i\pi c}{2a} \sin \frac{8td}{2} \right\} \quad \dots \dots \dots \quad (32) \\ ds &= \begin{cases} 1 [s=0] \\ 0 [s \neq 0] \end{cases}, \quad \bar{ds} = \begin{cases} 1 [s \geq 1] \\ 0 [s=0] \end{cases} \end{aligned}$$

また、境界条件は、 $x = \pm a/2$  の 2 辺が単純支持、 $y = \pm b/2$  の 2 辺が自由の場合を考えると、次の通りである。

$$x = \pm a/2 \text{ において } T_{xz} = 0, \beta = 0, \omega = 0, \partial \nu / \partial z = 0, M_x = 0 \quad \dots \dots \dots \quad (33)$$

$$y = \pm b/2 \text{ において } T_{zy} = 0, S_{zy} = 0, M_y = 0, D_y = 0, M_{yz} = 0 \quad \dots \dots \dots \quad (34)$$

式(33)の境界条件は、助変数  $di$  を持つ三重関数の性質により、恒等的に満足されている。式(34)の最初の二つの条件より、平面応力解と 3 次元応力解を結合して、任意定数は次の様に求められる。

$$P_i^{(s)} = - \frac{\sinh \xi_i'}{\xi_i' + \sinh \xi_i' \cosh \xi_i'} \left\{ 1 - \frac{v(dih)^2}{12(1+v)} + \xi_i' \coth \xi_i' \right\} \cdot \frac{4v}{h} \sum_{s=0}^{\infty} \frac{(1)^s c_{is}}{n_{is}^2} Q_{is} \sinh S_{is} \quad |$$

$$z'_i = d \cdot t / 2$$

$$P_i^{(1)} = \frac{\sinh z'_i}{z'_i + \cosh z'_i \coth z'_i} \cdot \frac{4\nu}{h} \sum_{s=0}^{\infty} \frac{(1-\nu) e_{is}}{m_{is}^2} Q_{is} \sinh z'_i$$

(35)

式 (34) の第3, 4 及び第5 の三つの条件より、三つの解を結合して任意定数を求めると次の通りである。

$$Q_i^{(1)} = \frac{12}{k^3 d i^2} \cdot \frac{\sinh z'_i}{\Delta_3 \sinh z'_i} [4d_i^2 + k_n^2 / 1 + \nu - (1-\nu) z'_i \coth z'_i + \frac{2-\nu}{20} (dk_i)^2] \sum_{s=0}^{\infty} \Pi_{is}$$

$$Q_i^{(2)} = \frac{12(1-\nu) k_n^2}{k^3 d i^2} \cdot \frac{\sinh z'_i}{\Delta_3 \sinh z'_i} \sum_{s=0}^{\infty} \Pi_{is}, E_{is} = -\frac{2k_n^2}{\Delta_3} \sum_{s=0}^{\infty} \Pi_{is}$$

(36)

ここで

$$\Delta_3 = \sinh z'_i [4d_i^2 \sinh z'_i - \coth z'_i \{4d_i^2 + (3+\nu) k_n^2\} + k_n^2 z'_i (1-\nu) \operatorname{cosech}^2 z'_i]$$

$$\Pi_{is} = \frac{(1-\nu) e_{is}}{m_{is}^2} \left[ \left( \frac{p_s}{m_{is}} \right)^2 + 4\nu \left( \frac{d_i}{m_{is}} \right)^2 \right] p_{is} (z_{is} \cosh z_{is} - \sinh z_{is}), z'_i = \frac{\sinh t}{2}$$

(37)

したがって、式 (31), (35) 及び式 (36) において、平面応力解、一般化平面応力解、3次元応力解及び板の中央面に対して反対称の一般化平面応力解に含まれて、すべての任意定数が求められたことになる。

#### 7. 数値計算例

計算例として、図-1 に示した矩形中等厚板が中央に部分分布荷重を担った場合について解析した。 $t/a = 1.0$ ,  $c=d=a/4$ ,  $\nu=0.17$  として、 $h/a$  の比を種々変えて計算した。図-2 には、せん断応力  $\tau_{xy}$  の分布を示した。 $h/a = 1/8$  の場合においては、板の中央面 ( $z=0$ ) に対してほぼ対称の放物線分布となり、薄板理論による解析と同じ傾向を示している。図-3 には、 $x=0$ ,  $y=0$  における垂直応力  $\sigma_{yy}$  の分布を示した。 $h/a = 1/5$  の場合には、非線形分布が強く現われ、値も小さく、 $h/a = 1/8$  の場合においては、圧縮側がわずかに凸、引張側がわずかに凹の曲線を示しているが、ほぼ直線分布に近い。図-4 には、 $x=0$ ,  $y=a/4$  における  $\tau_{xy}$  の分布を示した。応力の値を図-3 におけるそれより 1 オーダー下げるで書いてあるので、 $h/a = 1/8$  の場合においても見掛上、非線形分布が強く現れているが、図-3 と同じオーダーで書くとほとんど直線分布となる。図-5 には、 $x=0$ ,  $y=0$  における垂直応力  $\sigma_{yy}$  の分布を示した。 $h/a = 1/2$  の場合は、中等厚板理論による解析では不適当であるが、参考のために示した。 $h/a = 1/8$  の場合においては、図-3 の  $\sigma_{yy}$  より、さらに直線分布に近い分布を示している。図-6 には、 $x=0$ ,  $y=a/4$  におけるせん断応力  $\tau_{xy}$  の分布を示した。 $h/a = 1/8$  の場合は、図-2 の  $\tau_{xy}$  と同様に板の中央面に対してほぼ対称の放物線分布を示している。図-7 には、 $x=0$ ,  $y=a$  における  $\sigma_{yy}$  の値を示した。

厳密な3次元弾性論による解析によれば、この値は、理論的に消失すべきものであるが、本解法においては、境界条件を応力成分の代りに合意力で規定しているため、理論的には値が残ることになるが、実際に数値上どの程度の値が残るかを図示したものである。 $h/a = 1/5$  と  $h/a = 1/8$  の場合を比較すると、板厚が小さい程値も小さくなっている、図-3 の  $x=0$ ,  $y=0$  における値と比較すると 3 オーダー落ちており、工学的には、十分な精度と思われる。図-8 には、 $x=0$ ,  $y=a$  における  $\sigma_{yy}$  の値を示した。この値を厳密には消失しなければならないが、図-6 の値と比較すると 2 オーダー値が落ちてしまい、数値的には十分な精度と思われる。

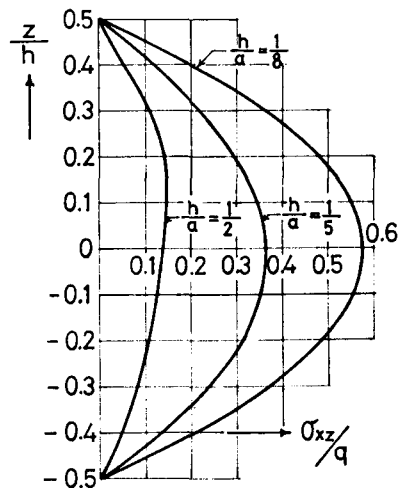


図-2  $x=a/4$ ,  $y=0$  における  $\tau_{xy}$  の分布

## 8. 結語

矩形中等厚板の一解法について述べ、例題として、相対する2辺単純支持、他の2辺自由の矩形厚板が中央に部分分布荷重を担った場合について解析した。この解法は、もちろん、他の周辺条件、たとえば、全周辺単純支持あるいは全周辺固定の境界条件を持った矩形厚板の解析にも応用することができ、また、円柱座標系において四つの解が求められていれば、円形厚板あるいは扇形厚板の解析にも応用できる解法である。荷重条件に関する特殊解は、垂直荷重あるいはせん断荷重の場合に関してても、単に3次元応力解の任意定数を与えて荷重条件に応じて決めれば良いだけであり、Loveの解法に比較してはるかに容易に求められる。また、自由辺の曲げに関する境界条件は、Loveの解法によれば、薄板理論と同様に曲げモーメントと反カビの二つの条件で規定しなければならないが、この解法においては、通常の厚板理論と同様に曲げモーメント、振りモーメント及びせん断力の三つの条件を規定することができます。この

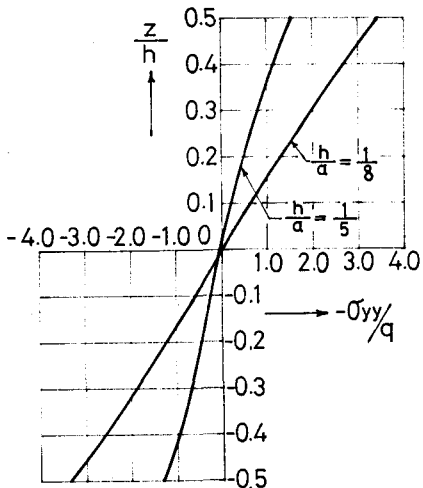


図-3  $z=0, y=0$ における  $\sigma_{yy}$  の分布

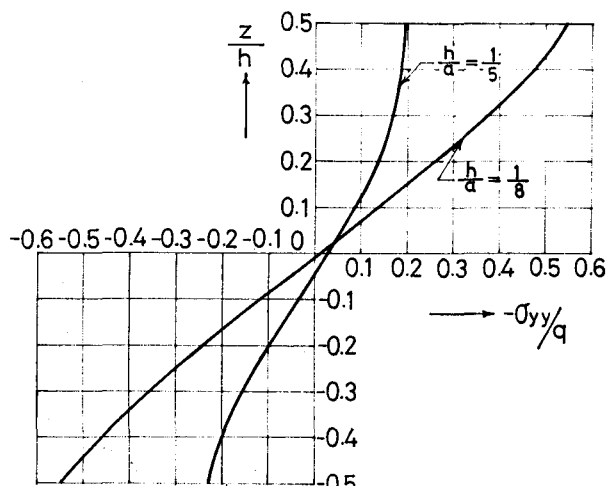


図-4  $z=a/4, y=a/4$ における  $\sigma_{yy}$  の分布

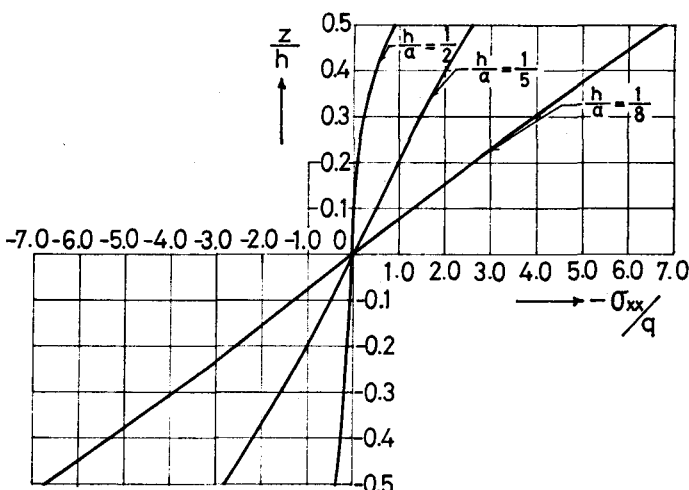


図-5  $z=0, y=0$ における  $\sigma_{xx}$  の分布

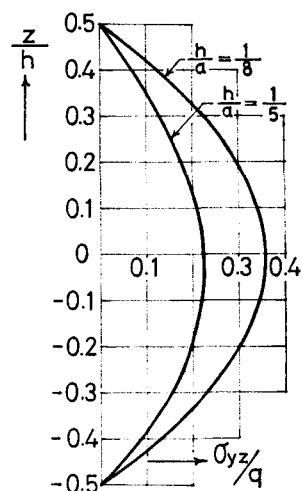


図-6  $z=a/4, y=a/4$ における  $\sigma_{yz}$  の分布

自由辺における境界条件の相異が、自由辺を離れた板の内部におけるせん断力及び振りモーメントに少ながらぬ影響を与えることではあるが、三つの条件を規定した方が、厳密な3次元弾性論により解析した結果と良く一致することは、扇形中等厚板の解析においてすでに示したところであり、本解法は、明らかにLoveの解法を改良した解法と考えられる。

薄板理論の板厚に関する適用限界については、一般的に、 $\frac{h}{a} \leq 0.10$  とされているが、部分分布簡単の様な局部的な荷重の場合には、載荷領域及びその近傍における応力の値を正確に算出することは、薄板理論によっては困難であり、また、厚板理論によても至ずかしいようである。載荷領域を離れた位置における応力については、 $\frac{h}{a} \leq 0.12$  の場合においても、薄板理論により十分な正確さで算出できることは、第7章において示唆したが、もし、数値計算が可能であれば、厳密な3次元弾性論による解析、中等厚板理論による解析及び薄板理論による解析の三者を、種々の荷重条件及び境界条件を持った板について行い、その適用性を広汎に検討しなければ、明言できないようと思われる。

#### 参考文献

- 1) Wainewright-Krüger, S.: Der Spannungszustand in dicken elastischen Platten, Ing.-Arch., Band IV, Heft 3, S. 203-226, 1933
- 2) Love, A. E. H.: A Treatise on the Mathematical Theory of Elasticity, Chap. XXII, 4th ed., Dover Pub., 1944
- 3) Reissner, E.: The effect of transverse shear deformation on the bending of elastic plates, J. Appl. Mech., Vol. 12, pp. A69-A77, 1953
- 4) Kromm, A.: Verallgemeinerte Theorie der Plattenstatik, Ing.-Arch., Band 21, S. 266-286, 1953
- 5) Mindlin, R. D.: Influence of rotatory inertia and shear on flexural motions of isotropic, elastic plates, J. Appl. Mech., Vol. 18, pp. 31-38, 1951
- 6) Panč, V.: Theories of Elastic Plates, Chap. 2-6, Noordhoff, 1975
- 7) Ambartsumyan, S. A.: 異方弾性板の理論、第2及び第3章、森北出版、1975 (邦訳)
- 8) 堀川都志雄・鷹山惠一郎: 自由辺を有する直交異方性厚板の一解法、土木学会第35回年次学術講演会、第一部、昭和55-9
- 9) Hata, K.: On the thick plate problem, Memoirs of the Faculty of Engineering, Hokkaido Univ., Vol. 9, No. 3, pp. 428-477, 1953 and Vol. 9, No. 4, pp. 487-563, 1954
- 10) 泰謹一: 三次元応力問題の解法について、北海道大学工学部研究報告、第13号、pp. 13-44, 昭30

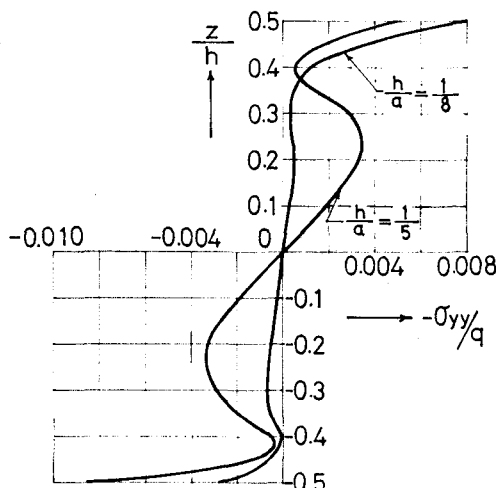


図-7  $z=0, y=a$  における  $-\sigma_{yy}/q$  の値

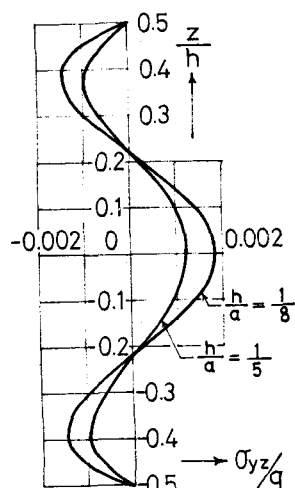


図-8  $z=0, y=a$  における  $\sigma_{yz}/q$  の値